



(11) RO 123461 B1

(51) Int.Cl.

G01N 27/12 (2006.01).

G01N 27/16 (2006.01)

(12)

BREVET DE INVENȚIE

(21) Nr. cerere: **a 2006 00941**

(22) Data de depozit: **05.12.2006**

(45) Data publicării mențiunii acordării brevetului: **29.06.2012** BOPI nr. **6/2012**

(41) Data publicării cererii:
30.07.2009 BOPI nr. **7/2009**

(73) Titular:

- INSTITUTUL NAȚIONAL DE CERCETARE-DEZVOLTARE PENTRU FIZICA MATERIALELOR, STR.ATOMIȘTILORE NR.105 BIS, MĂGURELE, IF, RO;
- INSTITUTUL NATIONAL DE CERCETARE-DEZVOLTARE PENTRU FIZICA LASERILOR, PLASMEI ȘI RADIAȚIEI, STR. ATOMIȘTILORE NR.409, MĂGURELE, IF, RO;
- INSTITUTUL NATIONAL DE CERCETARE-DEZVOLTARE PENTRU OPTOELECTRONICĂ - INOE 2000, STR. ATOMIȘTILORE NR.1, MĂGURELE, IF, RO

(72) Inventatori:

- POPESCU A. MIHAI, ALEEA COMPOZITORILOR NR.11, BL.G 12, ET.7, AP.46, SECTOR 6, BUCUREȘTI, B, RO;
- LORINCZI ADAM, ALEEA POSTĂVARUL NR.4, BL.C 4, SC.7, ET.3, AP.86, SECTOR 3, BUCUREȘTI, B, RO;

- SAVA FLORINEL, STR.ATOMIȘTILORE NR.105 BIS, MĂGURELE, IF, RO;
- TOMESCU ADELINA, STR. ATOMIȘTILORE NR.105 BIS, MĂGURELE, IF, RO;
- SIMION CRISTIAN, STR.ATOMIȘTILORE NR.105 BIS, MĂGURELE, IF, RO;
- MIHĂILESCU N. ION, STR. FIZICENILORE NR.10, BL.M 6, SC.1, ET.2, AP.9, MĂGURELE, IF, RO;
- SOCOL GABRIEL, STR. FIZICENILORE NR.19, BL.M 2, SC.1, AP.2, MĂGURELE, IF, RO;
- AXENTE EMANUEL, STR.HÂTİȘULUI NR.5, BL.H 12, SC.B, ET.4, AP.28, SECTOR 2, BUCUREȘTI, B, RO;
- MICLOȘ SORIN, CALEA GRIVIȚEI NR.160, BL.B, SC.A, ET.9, AP.42, SECTOR 1, BUCUREȘTI, B, RO;
- SAVASTRU DAN, STR.BUZOIANI IANI NR.3, BL.16, SC.A, AP.2, SECTOR 1, BUCUREȘTI, B, RO

(56) Documente din stadiul tehnicii:

DE 10019010 A1; RO 103521;

JP 61003038 A

(54) MATERIAL SENSIBIL LA GAZUL METAN ȘI SENZOR DE PRAG PENTRU DETECȚIA METANULUI

(57) Rezumat:

Invenția se referă la un senzor de prag pentru detecțarea gazului metan într-o atmosferă poluată. Senzorul de prag, conform invenției, este alcătuit dintr-o plăcuță de aluminiu, prevăzută cu doi electrozi de platină, pe care este depus, folosind pulsuri laser, un strat subțire de SnSe_2 .

Revendicări: 2

Figuri: 4

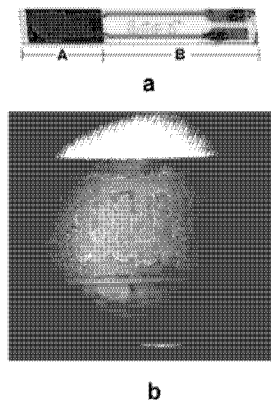


Fig. 1

Examinator: fizician RADU ROBERT



Orice persoană are dreptul să formuleze în scris și motivat, la OSIM, o cerere de revocare a brevetului de inventie, în termen de 6 luni de la publicarea mențiunii hotărârării de acordare a acesteia

RO 123461 B1

1 Prezenta invenție se referă la producerea unui material semiconductor calcogenic,
 2 sensibil la acțiunea gazului metan, și la un senzor de prag pentru concentrația gazului metan
 3 în atmosferă.

4 Se știe că la depășirea unui nivel de 5000 ppm concentrație de metan în atmosferă,
 5 există posibilitatea producerii de explozii în spații închise: mine de cărbune, subsoluri
 6 prevăzute cu conducte, hale industriale în industria chimică și petrochimică.

7 Se cunoaște faptul că evitarea accidentelor catastrofale, în special în minerit, depinde
 8 de măsurarea precisă a concentrației gazului metan în amestec cu aerul ambiental (cu și fără
 9 umiditate).

10 Proprietățile electronice ale straturilor subțiri semiconductoare sunt sensibile la
 11 adsorbția moleculelor de gaz și astfel straturile pot fi utilizate în senzorii de gaze (Gas
 12 sensors, Editor G. Sberveglieri, Kluwer, Dordrecht, 1992). Adsorbția poate modifica concen-
 13 trația de purtători prin dopare, prin schimbarea concentrației de defecte electronice sau, în
 14 cazul moleculelor polare, prin curbarea benzilor de energie la suprafață. Mobilitatea poate
 15 fi de asemenea afectată, dacă există o schimbare în procesul de conduction, de exemplu o
 16 alterare a înălțimii barierei de potențial dintre cristalite. Asemenea efecte se pot manifesta
 17 în modificările de fotoconducție și conducție la întuneric, precum și în fotoluminescență.

18 Conductivitatea poate fi mărită sau micșorată prin aceste efecte, care pătrund în strat
 19 până la diferite adâncimi, și pot astfel influența atât proprietățile de suprafață, cât și de
 20 volum. Morfologia stratului joacă, de asemenea, un rol semnificativ.

21 Prin selecția unor straturi potrivite, sensibilitatea la anumite gaze poate fi mărită, ceea
 22 ce oferă posibilitatea unei discriminări între speciile adsorbite. Deseori, gaze diferite produc
 23 schimbări similare în conductivitate și, de aceea, alte măsurări, ca, de pildă, timpul de
 24 răspuns sau energia de activare sunt necesare pentru a distinge între diferite compozиții
 25 gazoase.

26 Se cunosc senzori de gaze poluante, bazati pe straturi calcogenice evaporate de
 27 dimorfit (As_4S_3) și aliaje As-Ge-Te au fost dezvoltate de Tsuleanu și colab. (J. Optoelectron.
 28 Adv. Mat. 5(5), 1349 (2003)); brevet DE 10019010 A1 (de Tsuleanu Dumitru și Marian
 29 Svetlana din Chișinău, Republica Moldova, respectiv, de Potje-Kamloth Karin și Liep
 Hans-Dieter din Münsing, Germania).

30 Au mai fost dezvoltăți senzori calcogenici de umiditate, bazati pe dependența
 31 conductivității de volum de umiditatea gazului ambient (autori A. M. Andriesh și colab.).

32 Senzorii rezistivi pe bază de straturi calcogenice dau un răspuns purternic la dioxid
 33 de carbon și propilamină, reacționează rapid și au reproductibilitate bună. Ei funcționează
 34 la temperatura camerei. Se știe că materialul semiconductor SnO_2 , utilizat în senzorii clasici
 35 de gaze, "simte" gazul metan prin modificarea (scădere) rezistenței electrice a unui strat
 36 subțire de dioxid în prezența gazului. Senzorii de gaze bazati pe dioxidul de staniu sunt de
 37 interes comercial și au fost studiați pe scară largă (W. Goepel, K. -D. Schierbaum, Sensors
 38 and Actuators, B 26-27, 1, 1995).

39 Principala problemă pe care o ridică senzorii de gaze cu SnO_2 este îmbătrânirea
 40 rapidă a acestora, datorită structurii poroase care se reduce în timp. Suprafața specifică
 41 descrește, sensibilitatea senzorului se reduce.

42 Se mai știe că selectivitatea la gaze a dioxidului de staniu depinde de temperatura
 43 de lucru. Pentru sensibilitate și selectivitate la metan, se recomandă temperaturi ale stratului
 44 sensibil de peste 500°C.

45 Dezavantajul principal al senzorilor de dioxid de staniu este instabilitatea structurii
 46 poroase, care reduce sensibilitatea acestor senzori de-a lungul timpului de funcționare la
 47 temperaturi înalte de lucru. Pentru îmbunătățire, se adaugă dopanți în cantitate mică,
 48 elemente cu rol catalitic, ca de exemplu platină sau paladiu.

Problema rezolvată de actuala invenție constă în îmbunătățirea stabilității în timp a senzorului de gaze. Aceasta se realizează prin utilizarea la prepararea stratului sensibil a unui nou material, un material calcogenic, bazat pe seleniura de staniu (SnSe_2). Procesul de preparare a stratului sensibil, potrivit inventiei, înălătură dezavantajele stratului de oxid de staniu preparat prin metoda ceramică, legate de tratamentele termice la temperaturi strict controlate și producerea unei porozități avansate. În plus, este simplu, ieftin și fără consum mare de energie.	1 3 5 7
Se dă în continuare un exemplu de realizare a inventiei, în legătură și cu fig. 1...4, care:	9
- fig. 1a reprezintă senzorul cu strat de SnSe_2 ;	11
- fig. 1b reprezintă fotografia la microscop a stratului de SnSe_2 depus pe un suport de aluminiu;	13
- fig. 2 reprezintă diagrama de difracție a radiației X pe structura menționată în fig. 1b;	15
- fig. 3 reprezintă graficul de răspuns al materialului sensibil la gaz metan, la diferite concentrații, obținută într-o incintă dedicată pentru realizarea de amestecuri controlate de gaze;	17
- fig. 4 reprezintă graficul sensibilității materialului la diferite concentrații de gaz, la un interval de 9 zile între două măsurători.	19
Potrivit inventiei de față, se prepară un lingou format din elementele staniu și seleniu, amestecate în proporție stoichiometrică (33% at. staniu). Amestecul este înfiolat și se încalzește până la temperatura de topire a amestecului. Se menține fiola la temperatura de $750\text{--}800^\circ\text{C}$, timp de două ore, cu agitarea periodică a acesteia, pentru omogenizare. Fiola este răcită prin scoatere directă în atmosfera ambientă.	21 23
În etapa următoare, se taie o rondelă din lingoul solid, răcit. Rondela este folosită pentru depunerea din ea a unui strat subțire de material pe o plăcuță milimetrică de aluminiu (corindon) prevăzută cu doi electrozi de platină (sistem pieptene).	25
Depunerea se face într-o cameră specială, vidată la 2×10^{-6} Torr, prin aplicarea unor pulsuri laser, care determină ablarea materialului țintei și depunerea acestuia pe plăcuța de aluminiu prevăzută cu electrozi. Pentru depunere, se folosesc pulsurile laser emise de un laser cu excimer KrF* ($\lambda = 248$ nm), cu lungimea de undă a radiației pulsate de 248 nm, lucrând cu frecvență de repetiție de 1 Hz. Energia maximă a pulsului este de 10 mJ, iar fluența este de 3.6 J/cm^2 . Ținta este rotită în timpul depunerii cu frecvență de 0.4 Hz. Se recomandă folosirea a 30000 pulsuri laser, pentru care grosimea stratului depus ajunge la circa $0.5 \div 1 \mu\text{m}$. Activarea senzorului se face prin tratament termic la 650°C în flux de oxigen, timp de 6 h.	27 29 31 33 35
Fig. 1a arată aspectul stratului de SnSe_2 . Stratul de material sensibil este depus pe zona electrozilor pieptene (zona A în fig. 1a). Prelungirea electrozilor formează contactele electrice pentru culegerea semnalului rezistiv (zona B în fig. 1a). Fig. 1b prezintă fotografia la microscop a stratului SnSe_2 depus pe suportul de aluminiu.	37 39
Conform inventiei de față, prin tratament termic la suprafața stratului depus cu ajutorul laserului, se formează o fază nouă de dioxid de staniu, cu o structură nanometrică, stabilă. Dimensiunea medie de cristalit a fazei SnO_2 , determinată prin difracție de radiații X, pentru direcția cristalografică, este de 19,5 nm. Matricea stratului constă din SnSe_2 policristalin. Dimensiunea medie de cristalit a fazei policristaline de SnSe_2 în direcția cristalografică este de 26,5 nm.	41 43 45
Fig. 2 prezintă diagrama de difracție a radiației X pe stratul sensibil, depus pe un suport de aluminiu, prevăzut cu contacte de platină și supus tratamentului termic la 650°C în atmosferă de oxigen.	47

1 Potrivit inventiei de față, stratul de SnSe_2 tratat în atmosferă de oxigen devine activ
2 și simte atmosfera încărcată cu gaz metan prin modificări semnificative (scăderi) de
3 rezistență electrică.

4 Fig. 3 reprezintă graficul modificărilor de rezistență electrică, în funcție de concen-
5 trația de metan, suferite de stratul depus și tratat în condițiile specificate mai sus.

6 Punerea în funcțiune a senzorului se face la temperatura optimă de lucru a stratului
7 activ. Temperatura de lucru este de 600°C și se realizează prin efect Joule, cu ajutorul unei
8 rezistențe electrice montată pe dosul plăcuței de aluminiu a senzorului și alimentată electric
9 de la un panou de comandă exterior, prin care se poate lega și aparatul de măsurare a
rezistenței electrice, precum și cea de pornire a semnalului de avertizare.

10 Se constată o scădere la jumătate a rezistenței stratului, la introducerea în camera
11 de testare a metanului în concentrație de 500 ppm. Scăderea rezistenței decurge după o
12 lege logaritmică.

13 Un exemplu de utilizare a fenomenului de scădere a rezistenței electrice a senzorului
14 de metan este următorul:

15 Stratul tratat potrivit inventiei de față, depus pe α -alumină (numit și corindon) este
16 încălzit la 600°C . Este reglat sistemul electronic astfel ca în absența gazului metan punctul
17 de referință pe scara rezistenței să corespundă unei poziții notate cu zero. La introducerea
18 senzorului în atmosferă cu concentrație prestabilită de metan, rezistența electrică în circuitul
19 electric care preia semnalul de rezistență de la strat scade. Se etalonează scara de
20 rezistență, cu precizarea nivelului rezistenței pentru concentrația de prag prestabilită.
21

22 Optional, sistemul poate fi prevăzut cu un sistem de alarmare la scăderea sub o
23 anumită valoare a rezistenței, care corespunde la valoarea critică a concentrației de metan
24 în atmosferă în care este plasat senzorul de gaz metan.

25 Valoarea critică de "pericol" poate fi adoptată la nivelul de 5000 ppm metan în
26 atmosferă.

27 În conformitate cu inventia de față, stabilitatea modificărilor parametrilor de rezistență
28 la acțiunea atmosferei cu gaz metan este satisfăcătoare.

29 Fig. 4 prezintă graficul sensibilității materialului la diferite concentrații de gaz, la un
interval de 9 zile între două măsurări.

RO 123461 B1

Revendicări	1
1. Material sensibil la gazul metan, caracterizat prin aceea că este un compus calcogenic din seleniură de staniu depus cu ajutorul laserului pe un suport de aluminiă și tratat termic în atmosferă de oxigen la 650°C.	3
2. Senzor de prag pentru gazul metan, caracterizat prin aceea că este alcătuit din materialul sensibil la gazul metan de la revendicarea 1, aplicat pe un suport în sine cunoscut, format dintr-o pereche de electrozi metalici dublu-pieptene interdigitali pe suport de aluminiă, suport care are pe spate montată o rezistență electrică.	5
	7
	9

RO 123461 B1

(51) Int.Cl.

G01N 27/12 (2006.01);

G01N 27/16 (2006.01)

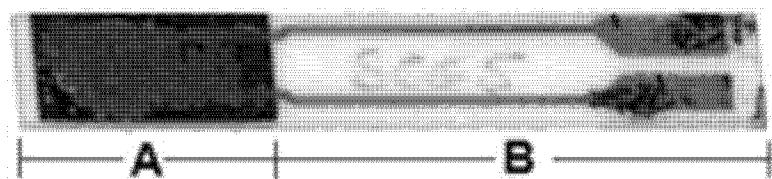


Fig. 1a

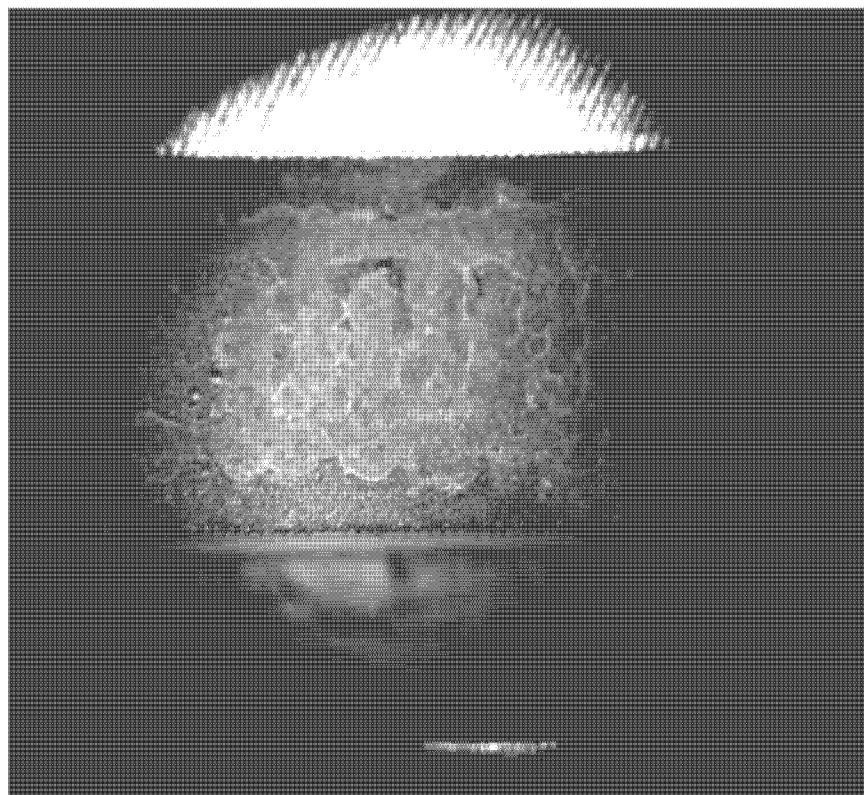


Fig. 1b

RO 123461 B1

(51) Int.Cl.

G01N 27/12 (2006.01).

G01N 27/16 (2006.01)

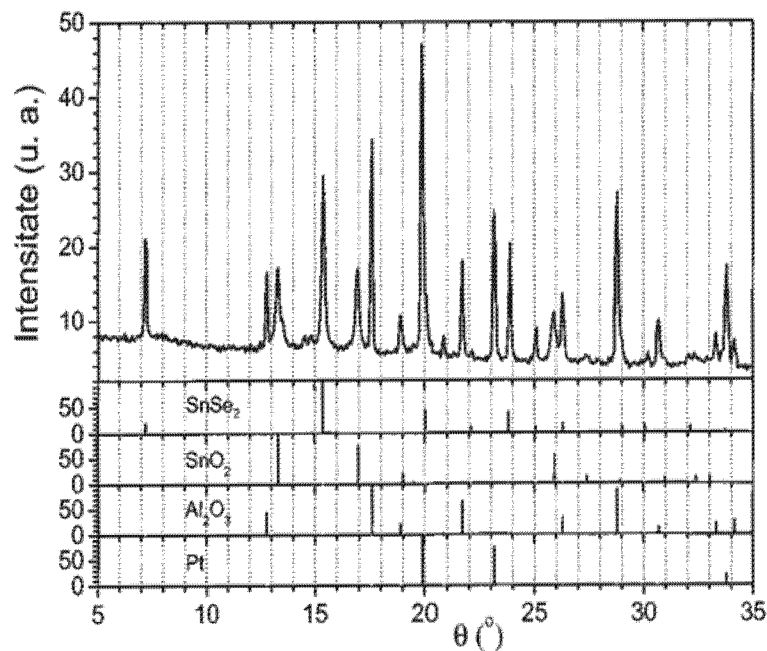


Fig. 2

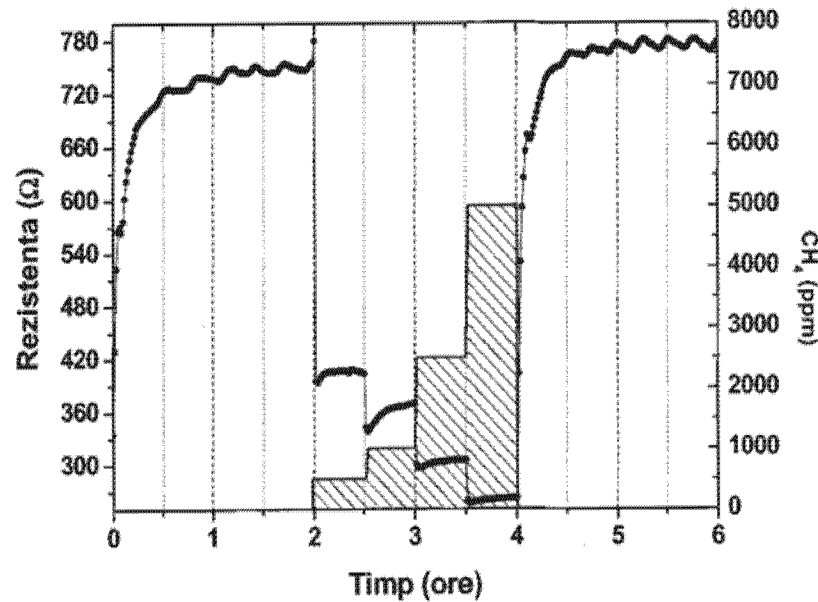


Fig. 3

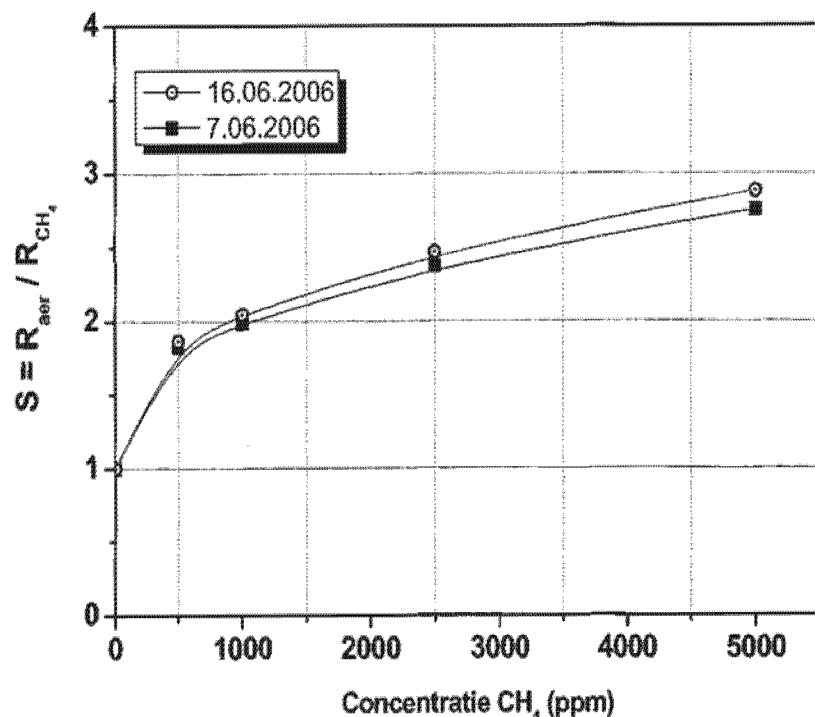


Fig. 4

